



IRANIAN SOCIETY of  
CRYSTALLOGRAPHY  
and MINERALOGY

Vol. 13, No. 1, 1384/2005 Spring & Summer

IRANIAN JOURNAL OF  
CRYSTALLOGRAPHY  
and MINERALOGY

## Synthesis and crystal structure analyses of Bis[N(2-chloro-phenyl) 4-nitro-thiobenzamido]mercury(II) complex

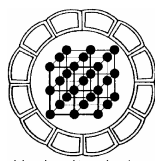
M. H. Habibi, S. Tangestaninejad, A. Fallah-Shojaie

Chemistry Department, Isfahan University, Isfahan, 81746, Iran  
E-mail: habibi@sci.ui.ac.ir

(Received: 3/5/2004, received in revised form: 10/1/2005)

**Abstract:** In this research N(2-chloro-phenyl)4-nitro-thiobenzamide as a ligand was synthesized. One mmol of mercury oxide was added to the solution of 1 mmol ligand in 45 ml chloroform and after 90 min the mixture through celite or BaS to remove unreacted mercury(II) compounds. The yellow crystals, which formed by slow evaporation, was separated and recrystallized from chloroform as fine yellow crystals with 87% yield and dried in vacuo. The crystal structure of above complex was determined by single crystal X-ray diffraction method. The complex crystals in a monoclinic unit cell with  $a = 8.2822(9)$  Å,  $b = 12.2907(9)$  Å,  $c = 13.1243(13)$  Å,  $\alpha = 90^\circ$ ,  $\beta = 98.729(5)^\circ$ ,  $\gamma = 90^\circ$  and  $Z = 2$  and space group P21/c. The S-Hg-S is linear with angle of  $180^\circ$ .

**Keywords:** *Crystal structure, Mercury(II) complex, Thiobenzamide.*



## سنترز و بررسی ساختار بلوری کمپلکس بیس [N-(۲-کلرو فنیل) ۴-نیترو تیوبنزنآمیداتو] جیوه(II)

محمد حسین حبیبی، شهرام تنگستانی نژاد، عبدالله فلاح شجاعی

گروه زمین‌شناسی گروه شیمی دانشگاه اصفهان.

پست الکترونی: [habibi@sci.ui.ac.ir](mailto:habibi@sci.ui.ac.ir)

(دریافت مقاله ۸۳/۲/۱۳، دریافت نسخه نهایی ۸۳/۱۰/۲۰)

**چکیده:** در این کار پژوهشی نخست لیگاند N-(۲-کلرو فنیل) ۴-نیترو تیوبنزنآمید (I) سنترز شد سپس ۱ میلی‌مول اکسیدجیوه(II) به محلول حاوی ۱ میلی‌مول لیگاند (I) در کلرفرم اضافه شد، بعد از ۹۰ دقیقه، مخلوط از میان BaS celite یا عبور داده شد تا ترکیب‌های جیوه(II) واکنش نداده خارج شوند. بلورها با تبخیر آهسته حلal با بازده ۸۷٪ بدست می‌آیند و در خلاً خشک می‌شوند. ساختار بلوری کمپلکس بیس[N-(۲-کلرو فنیل) ۴-نیترو تیوبنزنآمیداتو] جیوه(II) با استفاده از پراش پرتو X تعیین شد. بلورهای کمپلکس در یک یاختهٔ یکهٔ تکمیل متباور شده‌اند. پارامترهای شبکه آن  $a = ۸/۲۸۲۲(۹) \text{ \AA}$ ،  $b = ۱۲/۲۹۰۷(۹) \text{ \AA}$ ،  $c = ۱۳/۱۲۴۳(۱۳) \text{ \AA}$ ،  $\beta = ۹۸/۷۷۲۹^{\circ}$  و  $Z = ۲$  است. پیوند S-Hg-S خطی بوده و زاویه آن  $180^{\circ}$  است.

**واژه‌های کلیدی:** پراش سنجی پرتو X، ساختار بلوری و مولکولی، کمپلکس جیوه(II)، تیوبنزنآمید.

#### مقدمه

مطالعه هم آرایی و ساختار شیمیایی کمپلکس‌های جیوه(II) با لیگاندهای شامل انواع متفاوت اتمهای دهنده مانند ازت، گوگرد و اکسیژن در چند دهه گذشته مورد توجه قرار گرفته است. مطالعه کمپلکس‌های جیوه(II) با لیگاندهای سولفوردار به درک بهتر برهم‌کنش‌هایی که بین جیوه(II) و سیستمیین در سیستم‌های طبیعی وجود دارند کمک می‌کند [۱ و ۸]. همچنین به طور مشابه سمیت جیوه بهوسیله متالوتیونین، به تشکیل باند سولفور- جیوه(II) در این ترکیبها نسبت داده می‌شود [۹]. بدین منظور تلاشهای زیادی انجام شده است تا شیمی هم آرایی جیوه(II) با لیگاندهای دارای اتم سولفور، مانند فنیل تیولاتها [۱۰]، تیونهای چند چرخه‌ای، مثل پیریدین-۲-تیول [۱۱] و ایمیدازولین-۲-(H-۳) تیونها [۱۲] توسعه یابد. به تازگی ما نیز سنتر و کاربرد کمپلکس‌های بیس(۲-مرکاپتو بنزاکسازولات)جیوه(II) و بیس(۲-پیریدین تیولاتو)جیوه(II) را گزارش کرده‌ایم [۱۳ و ۱۴]. در این کار پژوهشی از واکنش ۲-کلرو آنیلین با ۴-نیترو بنزوئیل کلرايد و سپس واکنش با سولفید فسفر، لیگاند N-۲-کلرو فنیل)۴-نیترو تیوبنزآمید (۱) را سنتر کردیم [۱۵ و ۱۶] و متعاقباً از واکنش لیگاند (۱) با اکسید جیوه(II) در کلرفرم کمپلکس بیس[N-(۲-کلرو فنیل)-۴-نیترو تیوبنزآمیداتو]جیوه(II) [Hg(Ncpntb)2] تهیه شد.

#### روش تجربی

##### ۱- تهیه لیگاند N-(۲-کلرو فنیل)-۴-نیترو تیوبنزآمید

از واکنش ۲-کلرو آنیلین با ۴-نیترو بنزوئیل کلرايد و متعاقباً واکنش با سولفید فسفر طبق مقاله های [۱۵ و ۱۶] لیگاند (۱) تهیه شد.

##### ۲- تهیه کمپلکس بیس[N-(۲-کلرو فنیل)-۴-نیترو تیوبنزآمیداتو]جیوه(II) [Hg(Ncpntb)2]

یک میلی‌مول از اکسید جیوه(II)، ۲۱۶ g، به محلولی از ۱ میلی‌مول N-(۲-کلرو فنیل)-۴-نیترو تیوبنزآمید ۰/۷۳ g در کلرفرم (45 ml) و در دمای اتاق اضافه شد و برای ۹۰ دقیقه به هم زده شد، تکمیل واکنش به روش رنگ‌نگاری لایه نازک (tlc) و با مخلوط حلالهای CCl<sub>4</sub>/CH<sub>3</sub>OH به نسبت ۱۵:۱ دنبال شد. سپس مخلوط واکنش داده از میان celit یا BaS عبور داده شد تا ترکیب‌های جیوه(II) واکنش داده خارج شوند. بلورها با تبخیر آهسته حلال و تک بلورهای سوزنی زرد رنگ در کلرفرم با بازده ۷٪ به وجود می‌آیند و در خلا خشک می‌شوند.

#### بحث و برداشت

واکنش N-(۲-کلرو فنیل)-۴-نیترو تیوبنزآمید با اکسید جیوه(II) موجب تشکیل کمپلکس بیس[N-(۲-کلرو فنیل)-۴-نیترو تیوبنزآمیداتو]جیوه(II) [Hg(Ncpntb)2] با بازده خوب شد. این کمپلکس با استفاده از 1H-NMR و IR شناسایی شد. کمپلکس [Hg(Ncpntb)2]

زرد رنگ و لیگاند اولیه زرد مایل به نارنجی است. کمپلکس در  $212/6^{\circ}\text{C}$  ذوب می‌شود در صورتی که نقطه ذوب لیگاند  $151^{\circ}\text{C}$  است. در طیف H-NMR لیگاند، قله N-H در  $\delta = 9,35$  ظاهر شده و در کمپلکس، به علت تشکیل پیوند C=N، قله یادشده حذف شده است. با تشکیل کمپلکس، چگالی الکترونی حلقه بنزنی مجاور اتم گوگرد کمتر شده و بنابراین هیدروژنهای حلقه بنزنی به سمت مقادیر  $\delta$  بیشتر جایه‌جا شده‌اند، از طرف دیگر با افزایش چگالی الکترونی اطراف اتم ازت، هیدروژنهای حلقه بنزنی مجاور اتم ازت به سمت مقادیر  $\delta$  کمتر جایه‌جا شده‌اند (جدول ۱). طیف IR کمپلکس، فاقد قله N-H است و دارای قله بسیار شاخص C=S (پیوند I تیوآمید،  $160.5\text{ cm}^{-1}$ ) بوده و پیوند IV تیوآمیدی آن (ارتعاش C-S) به سمت مقادیر  $\lambda$  کمتر جایه‌جا شده است (جدول ۲). ساختار بلور کمپلکس در شکل ۱ نشان داده شده است. طول پیوند C=S،  $1.7751\text{ \AA}$  است، که به علت کاهش میزان مشارکت پیوند  $\pi$ ، در مقایسه با لیگاندهای تیوآمیدی آزاد مشابه ( $1.678\text{ \AA}$ ) [۱۷]، ۵۴٪ افزایش یافته و طول پیوند C-N ( $1.275\text{ \AA}$ ) به علت افزایش میزان مشارکت پیوند  $\pi$ ، نسبت به لیگاند تیوآمید آزاد مشابه [۱۸] ۵۲٪ کاهش یافته است.

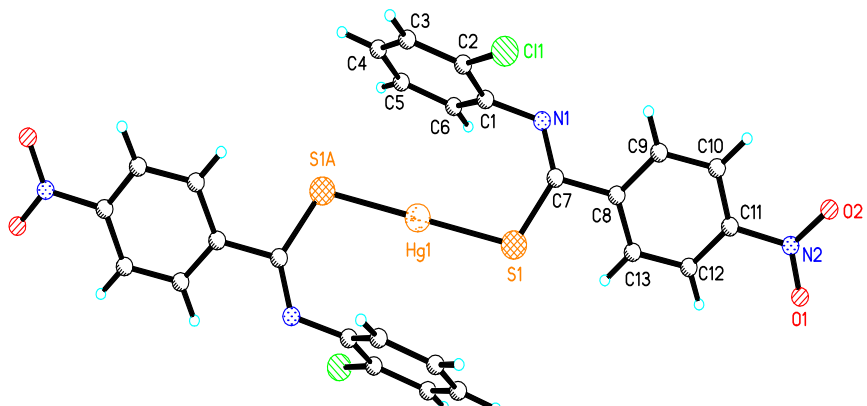
**جدول ۱** اطلاعات  $[\text{Hg}(\text{Ncpntb})_2]$  (لیگاند (۱) و کمپلکس) H-NMR (δ in ppm from  $\text{CDCl}_3$ )

	N-H	o-tb	o-C6H4	m-tb	M-C6H4	p- C6H4
NcpntbH	9,35	8,3	7,6	8,1	7,21-7,40	7,6
$[\text{Hg}(\text{Ncpntb})_2]$	-	8,36	6,26	8,27	7,26-7,46	6,8

**جدول ۲** برخی از مهمترین ارتعاشهای IR لیگاند (۱) و کمپلکس  $[\text{Hg}(\text{Ncpntb})_2]$  (در این جدول داریم: ضعیف = m، متوسط = w و قوی = s).

	ν(NH)	پیوندهای تیوآمید <sup>۱</sup>			
		I	II	III	I
NcpntbH	۳۳۲۸m	۱۵۹۵m	۱۲۰۷m	۹۳۰w	۶۶۵ w و ۷۳۲ w
$[\text{Hg}(\text{Ncpntb})_2]$	-	۱۶۰۵vs	۱۱۸۵s	۹۲۳vs	۶۱۶ m و ۷۴۳ w

۱- مرجع [۱۹] را ببینید.



شکل ۱ ساختار مولکولی کمپلکس  $[\text{Hg}(\text{Ncpntb})_2]$ .

ساختار بلوری کمپلکس بیس  $[\text{N}-\text{C}_6\text{H}_4-\text{Cl}-\text{Hg}(\text{Ncpntb})_2]$ -نیترو تیوبنزآمیداتو[جیوه(II)]

اندازه‌گیریها با پراش‌سنج Nonius Kappa CCD و با تابش  $\text{Mo-K}_\alpha$  در  $K = 150$  انجام شد. موقعیت اتمهای غیرهیدروژن از روش مستقیم، با استفاده از برنامه SHELLXS-97 و پالایش شده با SHELLXL-97 محاسبه شد. پالایش حداقل مربعات بر پایه مقدار  $F^2$  برای

همه داده‌ها انجام شد. شمای وزنی کمپلکس، از رابطه زیر به دست آمد:

$$W^{-1} = \sigma^2(F^2) + (0.45826P^3) + (74.0233P)$$

که در آن،  $P$  عبارتست از:  $P = (F^2 + F_C)/3$ . مقدار نهایی  $R_w$  برای همه داده‌ها از رابطه زیر به دست می‌آید:

$$R_w = [\sum w(F^2 - F_C^2)^2 / \sum w(F^2)]^{1/2} = 0.10398$$

اطلاعات ساختار بلوری کمپلکس در جدول ۳ و مختصات اتمها در جدول ۴ و طول پیوند و زوایه‌های پیوندی در جدول ۵ ارائه شده‌اند. بررسی ساختار نشان می‌دهد که گروههای تیو بنزآمید از طریق اتم گوگرد به جیوه متصل بوده و زاویه  $S-\text{Hg}-S$  برابر  $180^\circ$  است. آرایش هندسی در اطراف  $\text{Hg}$  به صورت خطی است. با توجه به اینکه گروه فضایی کمپلکس  $c/\text{P}2_1$  است، مقدار  $Z$  آن، ۲ است، مولکول روی موقعیت ویژه مرکز تقارن قرار دارد و مرکز تقارن مولکول بر مرکز تقارن گروه فضایی منطبق است.

جدول ۳ داده های بلوری کمپلکس بیس [N-(۲-کلرو فنیل)-نیترو تیوبنزآمیداتو]جیوه (II) [Hg(Ncpntb)2]

Chemical formula	C <sub>26</sub> H <sub>16</sub> Cl <sub>2</sub> HgN <sub>4</sub> O <sub>4</sub> S <sub>2</sub>
Formula weight	784.04
Temperature	150 (2) K
Radiation, wavelength	Mo K $\alpha$ , 0.71073 Å
Crystal system, space group	monoclinic, P2 <sub>1</sub> /c
Unit cell parameters	a = 8.2822(9) Å <sup>o</sup> b = 12.29.7(9) Å <sup>o</sup> $\beta$ = 98.729 (5) <sup>o</sup> c = 13.1243(13) Å <sup>o</sup>
Cell volume	12.1243(13) Å <sup>o</sup>
Z	2
Calculated density	1.972 g/cm <sup>3</sup>
Absorption coefficient $\mu$	6.231 mm <sup>-1</sup>
F(000)	756
Crystal colour and size	Yellow, 0.31 × 0.22 × 0.20 mm <sup>3</sup>
Reflections for cell refinement	126 (θ range 2.5 to 25.0°)
Data collection method	Nonius KappaCCD diffractometer φ and ω scans
θ range for data collection	4/2 5 25/0°
Index ranges	-9 < h < 9, -11 < k < 14, -15 < l < 14
Completeness to θ = 25.0°	89.7 %
Reflections collected	6262
Independent reflections	2.97 (Rint = 0.294)
Reflections with F2 > 2σ	1496
Absorption correction	numerical
Min. and max. transmission	0.265 and 0.387
Structure solution	direct methods
Refinement method	Full-matrix least-squares on F2
Weighting parameters a, b	....., 1.613.
Data / restraints / parameters	2.97 / . / 178
Final R indices [F2 > 2σ]	R1 = 0.173, wR2 = 0.326
R indices (all data)	R1 = 0.1433, wR2 = 0.389
Goodness-of-fit on F2	1.076
Largest and mean shift/su	0.000 and 0.000
Largest diff. peak and hole	0.8 and -0.58 e Å <sup>-3</sup>

جدول ۴ مختصات اتم‌ها و پارامترهای جابه‌جایی ایزوتوبیک کمپلکس  $[Hg(Ncpntb)_2]$ 

	x	y	z	Ueq
Hg(1)	۰,۵۰۰۰	۰,۰۰۰۰	۱,۰۰۰۰	۰,۰۱۸۴۸(۸)
S(1)	۰,۶۵۸۴۹(۱۲)	۰,۰۴۵۲۷(۹)	۱,۱۵۷۶۸(۷)	۰,۰۲۳۸(۸)
Cl(1)	۰,۶۳۹۸۶(۱۵)	۰,۳۴۷۶۴(۱۱)	۱,۹۷۴۹۸(۱۰)	۰,۰۴۹۴(۸)
N(۱)	۰,۸۶۶۴(۴)	۰,۱۶۵۷(۳)	۱,۰۰۵۲۶(۲)	۰,۰۲۵۴(۸)
N(۲)	۱,۲۳۶۲(۴)	۰,۲۱۶۸(۳)	۱,۵۱۷۹(۳)	۰,۰۲۶۹(۸)
O(۱)	۱,۲۵۲۵(۳)	۰,۱۴۵۴(۳)	۱,۵۸۴۲(۲)	۰,۰۳۷۴(۸)
O(۲)	۱,۲۹۶۰(۴)	۰,۳۰۷۴(۳)	۱,۵۳۱۶(۲)	۰,۰۴۴۵(۹)
C(۱)	۰,۷۷۱۵(۵)	۰,۱۴۸۹(۴)	۰,۹۵۳۸(۳)	۰,۰۲۷۵(۱۱)
C(۲)	۰,۶۶۷۲(۵)	۰,۲۳۰۰(۴)	۰,۹۰۷۸(۳)	۰,۰۳۱۶(۱۱)
C(۳)	۰,۵۸۱۶(۵)	۰,۲۱۶۱(۴)	۰,۸۰۷۷(۳)	۰,۰۳۶۵(۱۲)
C(۴)	۰,۶۰۵۲(۵)	۰,۱۲۳۹(۵)	۰,۷۵۴۱(۳)	۰,۰۴۱۵(۱۳)
C(۵)	۰,۷۱۰۲(۵)	۰,۰۴۳۱(۴)	۰,۷۹۷۲(۳)	۰,۰۴۱۱(۱۳)
C(۶)	۰,۷۹۷۴(۵)	۰,۰۵۳۸(۴)	۰,۸۹۶۷(۳)	۰,۰۲۸۹(۱۰)
C(۷)	۰,۸۲۹۱(۵)	۰,۱۲۴۰(۳)	۱,۱۳۴۸(۳)	۰,۰۲۰۴(۹)
C(۸)	۰,۹۴۰۵(۴)	۰,۱۴۵۵(۳)	۱,۲۳۴۱(۳)	۰,۰۱۵۶(۹)
C(۹)	۱,۰۱۸۵(۵)	۰,۲۴۶۱(۴)	۱,۲۴۹۲(۳)	۰,۰۲۳۲(۹)
C(۱۰)	۱,۱۱۷۶(۵)	۰,۲۷۰۰(۳)	۱,۳۴۱۳(۳)	۰,۰۲۶۵(۱۰)
C(۱۱)	۱,۱۳۸۷(۴)	۰,۱۹۱۲(۳)	۱,۴۱۷۳(۳)	۰,۰۲۰۲(۹)
C(۱۲)	۱,۰۶۹۳(۵)	۰,۰۸۹۹(۳)	۱,۴۰۳۶(۳)	۰,۰۲۲۴(۹)
C(۱۳)	۰,۹۶۶۵(۵)	۰,۰۶۸۱(۳)	۱,۳۱۲۱(۳)	۰,۰۲۲۸(۹)

**جدول ۵** برخی اطلاعات مربوط به طول پیوند (pm) و زوایای پیوندی برای کمپلکس [Hg(Ncpntb)<sub>۲</sub>] با مقدارهای انحراف استاندارد تخمینی (e.s.d.s) در داخل پرانتز.

Hg(۱)-S(۱)	۲,۳۴۳۳(۱۰)	Hg(۱)-S(۱)	۲,۳۴۳۳(۱۰)
S(۱)-C(۷)	۱,۷۷۵(۴)	Cl(۱)-C(۲)	۱,۷۲۶(۵)
N(۱)-C(۶)	۱,۴۲۴(۵)	N(۱)-C(۷)	۱,۲۷۵(۵)
N(۲)-O(۱)	۱,۲۲۹(۴)	N(۲)-O(۲)	۱,۲۲۱(۴)
N(۲)-C(۱۱)	۱,۴۷۴(۵)	C(۶)-C(۷)	۱,۳۹۵(۸)
C(۱)-C(۶)	۱,۴۲۳(۶)	C(۶)-C(۸)	۱,۴۰۵(۸)
C(۲)-H(۳)	۰,۹۵۰	C(۶)-C(۹)	۱,۳۶۳(۷)
C(۴)-H(۴)	۰,۹۵۰	C(۶)-C(۱۰)	۱,۳۸۳(۸)
C(۵)-H(۵)	۰,۹۵۰	C(۶)-C(۱۱)	۱,۳۹۹(۸)
C(۶)-H(۶)	۰,۹۵۰	C(۷)-C(۸)	۱,۵۰۱(۵)
C(۸)-C(۶)	۱,۳۹۵(۸)	C(۷)-C(۹)	۱,۳۹۱(۵)
C(۹)-H(۹)	۰,۹۵۰	C(۷)-C(۱۰)	۱,۳۸۶(۸)
C(۱۰)-H(۱۰)	۰,۹۵۰	C(۷)-C(۱۱)	۱,۳۸۲(۵)
C(۱۱)-C(۶)	۱,۳۷۱(۵)	C(۸)-H(۱۲)	۰,۹۵۰
C(۱۲)-C(۶)	۱,۳۷۱(۵)	C(۹)-H(۱۳)	۰,۹۵۰

S(۱)-Hg(۱)-S(۱#۱)	۱۸۰,۰	Hg(۱)-S(۱)-C(۷)	۱۰۹,۵۰(۱۳)
C(۶)-N(۱)-C(۷)	۱۲۲,۸(۳)	O(۱)-N(۲)-O(۲)	۱۲۲,۳(۳)
O(۱)-N(۲)-C(۱۱)	۱۱۷,۹(۴)	O(۲)-N(۲)-C(۱۱)	۱۱۸,۸(۴)
N(۱)-C(۶)-C(۷)	۱۲۰,۷(۴)	N(۱)-C(۶)-C(۸)	۱۱۹,۵(۴)
C(۶)-C(۷)-C(۸)	۱۱۹,۴(۴)	Cl(۱)-C(۲)-C(۱)	۱۱۹,۸(۳)
Cl(۱)-C(۲)-C(۸)	۱۱۹,۴(۴)	C(۶)-C(۷)-C(۸)	۱۲۰,۶(۴)
C(۶)-C(۸)-H(۲)	۱۲۰,۳	C(۶)-C(۹)-C(۸)	۱۱۹,۵(۴)
H(۳)-C(۸)-C(۹)	۱۲۰,۳	C(۶)-C(۹)-H(۴)	۱۱۹,۵
C(۶)-C(۹)-C(۸)	۱۲۱,۱(۴)	H(۴)-C(۶)-C(۸)	۱۱۹,۵
C(۶)-C(۸)-H(۵)	۱۱۹,۴	C(۶)-C(۸)-C(۹)	۱۲۱,۲(۵)
H(۴)-C(۸)-C(۹)	۱۱۹,۴	C(۶)-C(۹)-C(۸)	۱۱۸,۱(۴)
C(۶)-C(۹)-H(۶)	۱۲۰,۹	C(۶)-C(۸)-H(۵)	۱۲۰,۹
S(۱)-C(۷)-N(۱)	۱۲۱,۶(۳)	S(۱)-C(۷)-C(۸)	۱۱۰,۴(۳)
N(۱)-C(۷)-C(۸)	۱۱۸,۰(۳)	C(۷)-C(۸)-C(۹)	۱۱۹,۳(۳)
C(۷)-C(۸)-C(۱۳)	۱۲۱,۷(۴)	C(۶)-C(۸)-C(۱۳)	۱۱۹,۰(۴)
C(۸)-C(۸)-H(۹)	۱۱۹,۶	C(۶)-C(۸)-C(۱۰)	۱۲۰,۸(۴)
H(۹)-C(۸)-C(۱۰)	۱۱۹,۶	C(۶)-C(۱۰)-H(۱۰)	۱۲۰,۹
C(۸)-C(۱۰)-C(۱۱)	۱۱۸,۳(۴)	H(۱۰)-C(۱۰)-C(۱۱)	۱۲۰,۹
N(۲)-C(۱۱)-C(۱۰)	۱۱۹,۳(۴)	N(۲)-C(۱۱)-C(۱۲)	۱۱۸,۲(۴)
C(۱۰)-C(۱۱)-C(۱۲)	۱۲۲,۵(۳)	C(۱۱)-C(۱۲)-H(۱۲)	۱۲۰,۷
C(۱۱)-C(۱۲)-C(۱۳)	۱۱۸,۶(۴)	H(۱۲)-C(۱۲)-C(۱۳)	۱۲۰,۷
C(۱۲)-C(۱۳)-C(۱۲)	۱۲۰,۷(۴)	C(۱۲)-C(۱۳)-H(۱۳)	۱۱۹,۷
C(۱۲)-C(۱۳)-H(۱۳)	۱۱۹,۷		

Symmetry operations for equivalent atoms

#1 -x,-y+2,-z+1

**تشکر و قدردانی**

مؤلفین وظیفه خود می‌دانند که از دانشگاه اصفهان و نیز از پروفسور William Clegg از بخش شیمی دانشگاه نیوکاستل انگلستان University of Newcastle به خاطر اندازه‌گیری‌های پراش پرتو X سپاسگزاری نمایند.

**مراجع**

- [1] Santos K. K., Gruff E. S., Koch S. A., Harbinson G. A., J. Am. Chem. Soc. 113 (1991) 469.
- [2] Jiang D. T., Heald S. M., Sham T. K., Stillman M. J., J. Am. Chem. Soc. 116 (1994) 11004.
- [3] Fleissner G., Kozlowski P. M., Bryson J. W., Ohalloran T. V., Spiro T. G., Inorg. Chem. 38 (1999) 3523.
- [4] Gruff E. S., Koch E. S.A., J. Am. Chem. Soc. 112 (1990) 1245.
- [5] Barrera H., Bayon J. C., Gonzalez-Duarte P., Sola J., Vinas M. M., Polyhedron 1 (1982) 647.
- [6] Christou G., Folting K., Huffman J. C., Polyhedron 3 (1984) 1247.
- [7] Carlton L., White D., Polyhedron 9 (1990) 2717.
- [8] Schultz P. G., Au K. G., Walsh C. T. Biochemistry 24 (1985) 6840.
- [9] Kagi, J. H. R., Vallee, B. L., J. Biol. Chem., 236 (1961) 2435.
- [10a] Christou G., Folting K., Huffman J. C., Polyhedron 3 (1984) 1247.
- [10b] Carson G. K., Dean P. A. W., Inorg. Chem. Acta 66 (1982) 157.
- [11] Contreras J. G., Seguel G. V., Alderete J. B., Spectrochim. Acta Part A, 50 (1994) 371.
- [12] Shummugam R., Sathyanarayana D. N., J. CoordChem . 12 (1983) 151.
- [13] Habibi M. H., Tangestaninejad S., Montazerozohori M., Mohammadpour-baltork I., Molecules 8 (2003) 663.
- [14] Amini M. K., Rafi A., Ghaedi M., Habibi M. H., Zohory M. M., Microchem. J. 75 (2003) 143.
- [15] Scheeren J. W., Ooms P. H. J., Nivard R. J. F., Synthesis (1973) 149.

- 
- [16] Perregard J., Thomeson L., Lawesson S. O., Bull. Soc. Chim. Belg. 86 (1977) 321.
  - [17] Raper E. S., Oughtred R. E., Nowell I. W., Inorg. Chim. Acta 77 (1983) L89.
  - [18] Raper E. S., Oughtred R. E., Nowell I. W., Creighton J. R., Acta Crystallogr Sect . B 39 (1983) 355.
  - [19] Creighton J. R., Gardiner D. S., Gorvin A. C., Gutteridge C., Jackson A. R. W., Raper E. S., Sherwood P. M. A., Inorg. Chim. Acta 103 (1985) 195.